

①9 RÉPUBLIQUE FRANÇAISE
INSTITUT NATIONAL
DE LA PROPRIÉTÉ INDUSTRIELLE
COURBEVOIE

①1 N° de publication : **3 131 483**

(à n'utiliser que pour les
commandes de reproduction)

②1 N° d'enregistrement national : **21 14628**

⑤1 Int Cl⁸ : **H 03 M 7/30 (2022.01), H 04 L 27/14, H 04 B 17/00**

⑫

DEMANDE DE BREVET D'INVENTION

A1

⑫② Date de dépôt : 29.12.21.

⑫③ Priorité :

⑫④ Date de mise à la disposition du public de la demande : 30.06.23 Bulletin 23/26.

⑫⑤ Liste des documents cités dans le rapport de recherche préliminaire : *Se reporter à la fin du présent fascicule*

⑫⑥ Références à d'autres documents nationaux apparentés :

Demande(s) d'extension :

⑦① Demandeur(s) : COMMISSARIAT A L'ENERGIE ATOMIQUE ET AUX ENERGIES ALTERNATIVES Etablissement Public — FR.

⑦② Inventeur(s) : ZARUDNIEV Mykhailo, PELISSIER Michael et GULFO MONSALVE Jorge-Luis.

⑦③ Titulaire(s) : COMMISSARIAT A L'ENERGIE ATOMIQUE ET AUX ENERGIES ALTERNATIVES Etablissement Public.

⑦④ Mandataire(s) : BREVALEX.

⑫④ MÉTHODE D'ACQUISITION COMPRIMÉE ET DE RECONSTRUCTION D'UN SIGNAL SPECTRALEMENT PARCIMONIEUX.

⑫⑤ La présente invention concerne une méthode d'acquisition comprimée d'un signal spectralement parcimonieux au sein d'une bande spectrale donnée, le signal reçu étant mélangé (820) pendant une trame d'acquisition avec un train d'impulsions se succédant avec une fréquence de répétition modulée linéairement dans le temps au sein de cette trame. Le résultat du mélange est filtré (830) au moyen d'un filtrage passe-bas et échantillonné (840) à une cadence non uniforme égale à la fréquence de répétition, pour fournir des échantillons complexes représentatifs du signal reçu. Le spectre du signal reçu peut être estimé en pondérant au moyen des échantillons complexes les valeurs spectrales d'une impulsion en une pluralité de fréquences équidistribuées dans la bande, et en sommant ces valeurs pondérées pour chacune de ces fréquences. Une estimation du signal reçu s'en déduit par transformée de Fourier inverse. La bande spectrale peut également être scannée à partir du spectre ainsi estimé.

Fig. 8

FR 3 131 483 - A1



Description

Titre de l'invention : MÉTHODE D'ACQUISITION COMPRIMÉE ET DE RECONSTRUCTION D'UN SIGNAL SPECTRALEMENT PARCIMONIEUX

Domaine technique

[0001] La présente invention concerne de manière générale le domaine de l'acquisition comprimée (*compressed sensing*) et de la détection de spectre (*spectral sensing*). Elle s'applique notamment à la détection et la localisation fréquentielle dans les signaux Wi-Fi.

Etat de la technique antérieure

[0002] L'acquisition compressée d'un signal repose sur le fondement théorique suivant : un signal spectralement parcimonieux dans une bande spectrale donnée, c'est-à-dire dont l'information n'est pas contenue dans l'intégralité de la bande en question mais seulement dans une ou plusieurs de ses sous-bandes, peut être échantillonné sans perte à condition que sa fréquence d'échantillonnage soit proche de la fréquence de Landau, c'est-à-dire de sa largeur de bande d'information effective. Pour un signal spectralement parcimonieux, la fréquence de Landau peut être sensiblement inférieure à la fréquence de Nyquist.

[0003] Lorsque le signal à acquérir est un signal RF multi-bande, autrement dit lorsqu'il occupe certaines sous-bandes d'une bande spectrale donnée, il est connu de recourir à un sous-échantillonnage passe-bande (dit encore échantillonnage de bande passante) non uniforme par ondelettes ou NUWBS (*Non Uniform Wavelet Bandpass Sampling*). Celle-ci utilise un dictionnaire de fonctions élémentaires formant une base, voire simplement une famille génératrice (*overcomplete*) de $L^2(\mathbb{R})$, dénommées ondelettes. On trouvera une description détaillée de la méthode d'acquisition NUWBS dans l'article de M. Pelissier *et al.* intitulé « Non-uniform wavelet sampling for RF analog-to-information conversion », publié dans IEEE Trans. On Circuits and Systems, I, Regular Papers, 2018, 65(2), pp. 471-484 ainsi que dans la demande EP-A-3 319 236.

[0004] La méthode d'acquisition NUWBS est brièvement rappelée ci-après dans le contexte d'un récepteur RF représenté en Fig. 1. Le signal RF reçu à acquérir, $x(t)$, bruité par un bruit blanc additif gaussien, $n(t)$, peut occuper une ou plusieurs sous-bandes (ou canaux) d'une bande de fréquence d'acquisition de largeur BW_{RF} , centrée sur une fréquence porteuse, f_c . Le signal reçu est d'abord amplifié dans un amplificateur bas bruit (LNA), 110, puis mélangé au moyen d'un multiplieur 120, à un train

d'impulsions (par exemple des ondelettes de Morlet), $p_{NUWBS}(t)$. Le résultat du mélange est ensuite filtré et amplifié par un amplificateur à contrôle automatique de gain, 130, avant d'être échantillonné aux instants où sont présents les différentes impulsions et converti par un convertisseur analogique numérique, 140. En pratique, la multiplication est réalisée sur des valeurs complexes et l'amplification ainsi que la conversion A/D sont effectuées pour chaque voie I et Q.

- [0005] La Fig. 2 représente, dans sa partie inférieure, un exemple de train d'impulsions, $p_{NUWBS}(t)$. Le train d'impulsions possède une durée totale T_{acq} , les impulsions se répétant avec une fréquence de répétition maximale PRF , ou, de manière équivalente tous les intervalles $\frac{1}{PRF}$. De manière générale, un train d'impulsions comprend au plus Σ positions temporelles possibles équidistribuées sur la durée d'acquisition T_{acq} , dont $M \leq \Sigma$ sont effectivement occupées par des impulsions les autres positions étant inoccupées. Le rapport M/Σ , également dénommé taux de compression, définit le taux d'occupation du train d'impulsions sur la durée d'acquisition, T_{acq} . La durée τ d'une impulsion est choisie de manière à être de l'ordre de l'inverse de la largeur de bande, BW_{RF} , du signal à acquérir. La largeur de bande BW_{RF} est déterminée à partir d'une valeur d'atténuation prédéterminée en dB, généralement -3dB. En outre, la fréquence porteuse de l'impulsion est choisie sensiblement égale à la fréquence f_c .
- [0006] Le spectre d'un train d'impulsions est représenté dans la partie supérieure de la Fig. 2. Celui-ci est un spectre de raies espacées de la fréquence de répétition PRF , centré sur la fréquence porteuse, f_c et modulé par la forme spectrale de l'enveloppe d'une impulsion.
- [0007] La partie centrale de la figure, représente un spectrogramme d'un train d'impulsions, c'est-à-dire une analyse temps-fréquence correspondant la transformée de Fourier d'un train d'impulsions se répétant périodiquement avec la période T_{acq} . On remarque que le spectrogramme présente des raies sensiblement alignées avec celles du spectre au-dessus et reste constant dans le temps.
- [0008] Revenant à la Fig. 1, le train d'impulsions, $p_{NUWBS}(t)$, mélangé avec le signal reçu, est caractérisé par son taux de compression, M/Σ , la fréquence porteuse, f_c , et la durée, τ , de ses impulsions, ainsi que la fréquence de répétition maximale, $PRF = \frac{\Sigma}{T_{acq}}$. La fréquence de répétition moyenne des impulsions n'est alors autre que $(M/\Sigma)PRF$.
- [0009] L'échantillonnage NUWBS est non-uniforme en raison de la distribution aléatoire de M impulsions parmi les Σ positions temporelles possibles au sein de la trame d'acquisition. Pour un taux de compression donné, les impulsions sont sélectionnées au

moyen d'un tirage pseudo-aléatoire par une séquence PRBS (*Pseudo-Random Binary Sequence*).

- [0010] Le taux de compression M/Σ détermine, d'une part, le degré maximal de parcimonie spectrale que peut atteindre le récepteur et, d'autre part, la cadence moyenne à laquelle doit opérer le convertisseur analogique-numérique.
- [0011] La Fig. 3A représente un histogramme de la fréquence de répétition des impulsions, autrement dit la densité de probabilité de la fréquence de répétition des impulsions pour un taux de compression de $M/\Sigma = 0.1$. On remarque que cette fréquence de répétition prend des valeurs fractionnaires de la fréquence de répétition maximale, PRF : $PRF/2$, $PRF/3$, $PRF/4$, etc.
- [0012] Les Figs. 3B et 3C représentent la densité de fréquence de répétition des impulsions, respectivement pour un taux de compression $M/\Sigma = 0.5$ et $M/\Sigma = 0.9$. On remarque que lorsque le taux de compression augmente, la distribution de densité de probabilité de la fréquence de répétition tend à se concentrer sur la valeur maximale, PRF . Cette concentration est problématique dans la mesure où la cadence de conversion du convertisseur analogique/digital doit suivre la fréquence de répétition maximale du train d'impulsions, celle-ci devant par ailleurs être égale à la largeur de bande BW_{RF} si l'intégralité de la bande est à analyser ou à acquérir. En d'autres termes la méthode d'acquisition comprimée NUWBS telle que décrite dans l'état de la technique suppose de recourir à des convertisseurs A/D rapides pour analyser ou acquérir des signaux large bande. Or, de tels convertisseurs sont coûteux et ne présentent pas une grande dynamique.
- [0013] Le but de la présente invention est par conséquent de proposer une méthode d'acquisition comprimée permettant d'acquérir un signal/analyser une large bande RF et, le cas échéant de reconstruire le signal qui y est présent, sans devoir recourir à des convertisseurs A/D opérant à une cadence élevée, de l'ordre de la largeur de bande en question.

Présentation de l'invention

- [0014] La présente invention est définie par une méthode d'acquisition comprimée d'un signal spectralement parcimonieux au sein d'une bande spectrale donnée, le signal reçu étant mélangé pendant une trame d'acquisition avec un train d'impulsions se succédant à une fréquence de répétition au sein de cette trame, lesdites impulsions étant de durée inférieure ou égale à l'inverse de largeur de la bande spectrale et présentant un spectre centré sur la fréquence centrale de cette bande, le résultat du mélange étant filtré au moyen d'un filtrage passe-bas avant d'être échantillonné pour fournir des échantillons complexes représentatifs du signal reçu, ladite méthode étant originale en ce que ladite fréquence de répétition est modulée dans le temps pendant la durée de la trame

d'acquisition.

- [0015] La fréquence de répétition est avantageusement modulée linéairement dans le temps, et parcourt pendant la trame d'acquisition une plage de fréquence de répétition entre une valeur minimale PRF_{min} et une valeur maximale PRF_{max} , soit par valeurs croissantes, soit par valeurs décroissantes.
- [0016] L'excursion de modulation de la fréquence de répétition (B_{in}) est préférentiellement choisie de manière à ce que la largeur spectrale balayée par chaque raie spectrale du train d'impulsion, $B_{sweep}^k = (k_{mult} + k - 1) \cdot B_{in}$ est telle que $B_{sweep}^k > PRF_{min}$ où k_{mult} est l'entier défini par $k_{mult} = \left\lfloor \frac{f_c}{PRF} \right\rfloor$, f_c est ladite fréquence centrale, et \overline{PRF} est la fréquence de répétition moyenne des impulsions sur la durée de la trame d'acquisition.
- [0017] Les impulsions sont typiquement choisies parmi des ondelettes de Morlet, des ondelettes de Haar et des fonctions de Gabor.
- [0018] Le filtre passe-bande présente avantageusement une fréquence de coupure sensiblement égale à $\overline{PRF} / 2$ où \overline{PRF} est la fréquence de répétition moyenne des impulsions sur la durée de la trame d'acquisition.
- [0019] Selon une variante, le signal reçu est mélangé pendant une trame d'acquisition avec un premier train d'impulsions se succédant à une première fréquence de répétition au sein de cette trame, et pendant cette même trame d'acquisition, est mélangé avec un second train d'impulsions se succédant avec une seconde fréquence de répétition, les première et seconde fréquences de répétition étant linéairement modulées dans le temps pendant la trame d'acquisition.
- [0020] Le résultat du mélange avec le premier train d'impulsions est ensuite filtré au moyen d'un premier filtrage passe-bas avant d'être échantillonné pour fournir des premiers échantillons complexes, et le résultat du mélange avec le second train d'impulsions est filtré au moyen d'un second filtrage passe-bas avant d'être échantillonné pour fournir des seconds échantillons complexes, l'ensemble des premiers et seconds échantillons complexes étant représentatifs du signal reçu.
- [0021] L'invention concerne en outre une méthode de reconstruction d'un signal spectralement parcimonieux au sein d'une bande spectrale donnée, ledit signal ayant fait l'objet d'une acquisition comprimée par une méthode d'acquisition comprimée comme indiqué ci-dessus, les échantillons complexes relatifs aux différentes impulsions du train d'impulsions étant successivement multipliés par des valeurs spectrales de ces impulsions pour fournir des valeurs spectrales pondérées, cette opération étant répétée pour une pluralité de fréquences équidistribuées dans la bande spectrale, lesdites valeurs spectrales pondérées étant sommées sur la durée de la trame d'acquisition pour

chaque fréquence de la pluralité de fréquences équidistribuées pour obtenir des coefficients complexes à chacune de ces fréquences, des phaseurs à ces fréquences étant ensuite pondérés par lesdits coefficients correspondants avant d'être sommés pour fournir une estimation du signal reçu.

Brève description des figures

- [0022] D'autres caractéristiques et avantages de l'invention apparaîtront à la lecture d'un mode de réalisation préférentiel de l'invention, fait en référence aux figures jointes parmi lesquelles :
- [0023] [Fig.1] représente de manière schématique un récepteur RF utilisant une méthode d'acquisition comprimée par échantillonnage NUWBS, connue de l'état de la technique ;
- [0024] [Fig.2] représente un exemple de train d'impulsions utilisé dans le récepteur RF de la [Fig.1] ;
- [0025] [Fig.3A]
- [0026] [Fig.3B]
- [0027] [Fig.3C] représentent des histogrammes de fréquence de répétition pour des exemples de trains d'impulsions présentant différents taux de compression ;
- [0028] [Fig.4] représente un spectre et un spectrogramme pour deux exemples de trains d'impulsions sans modulation de PRF ;
- [0029] [Fig.5] représente un spectre et un spectrogramme pour deux exemples de trains d'impulsions avec une première modulation et une seconde modulation de PRF ;
- [0030] [Fig.6] représente un spectre et un spectrogramme pour deux exemples de trains d'impulsions avec une première modulation et une seconde modulation de PRF, mises en œuvre dans une méthode acquisition comprimée selon un mode de réalisation de la présente invention ;
- [0031] [Fig.7] représente schématiquement un module de reconstruction d'un signal ayant fait l'objet d'une acquisition comprimée selon un mode de réalisation de la présente invention ;
- [0032] [Fig.8] représente de manière schématique un dispositif d'acquisition comprimée et de reconstruction d'un signal selon une première variante de réalisation de la présente invention ;
- [0033] [Fig.9] représente de manière schématique un dispositif d'acquisition comprimée et de reconstruction d'un signal selon une seconde variante de réalisation de la présente invention.

Description des modes de réalisation

- [0034] Nous considérerons dans la suite un dispositif mettant en œuvre une méthode d'acquisition comprimée par échantillonnage non uniforme, NUWBS, comme décrit

dans la partie introductive. L'acquisition comprimée fait appel à un mélange du signal à acquérir avec des trains d'impulsions distribuées au sein d'une trame. Les impulsions pourront être des ondelettes de Morlet, des ondelettes de Haar ou des fonctions de Gabor, de manière connue en soi.

[0035] A la différence de l'état de la technique décrit dans la partie introductive, les impulsions ne sont pas situées en Σ positions temporelles prédéterminées, données par la période de répétition $\frac{1}{PRF}$, décimées au moyen du taux de compression M/Σ de manière à n'en retenir que M parmi Σ .

[0036] Selon une première idée à la base de l'invention, pendant une trame d'acquisition de durée T_{acq} , la fréquence de répétition est modulée autour d'une valeur moyenne, notée \overline{PRF} , avec une rampe de fréquence linéaire de pente $2a$.

[0037] Autrement dit, la fréquence de répétition des impulsions au sein d'une trame varie entre les valeurs :

[0038] [Math.1]

$$f_{start} = \overline{PRF} - aT_{acq} = \overline{PRF} - \frac{B_{in}}{2}$$

(1-1)

[0039] [Math.2]

$$f_{stop} = f_{start} + 2aT_{acq} = \overline{PRF} + aT_{acq} = \overline{PRF} + \frac{B_{in}}{2}$$

(1-2)

[0040] où $B_{in} = 2aT_{acq}$ est l'excursion de la PRF pendant la durée de la trame d'acquisition.

[0041] Les positions temporelles indiquant le début des impulsions au sein de la trame sont données par les instants t_k vérifiant :

[0042] [Math.3]

$$2\pi (f_{start} t_k + a t_k^2) = 2\pi k$$

;

[Math.3]

$$t_k \in [0, T_{acq}]$$

(2)

[0043] d'où :

[0044] [Math.4]

$$t_k = \frac{f_{start}}{2a} \left(-1 + \sqrt{1 + \frac{2a}{f_{start}} (2k-1)} \right)$$

(3)

[0045] Autrement dit, les positions temporelles des impulsions sont celles pour lesquelles la

variation de phase due à la modulation de la PRF est un multiple entier de 2π . Lorsque la fréquence de répétition croît linéairement pendant la durée de la trame ($\alpha > 0$), les impulsions deviennent de plus en plus rapprochées. Inversement, lorsque la fréquence de répétition décroît linéairement pendant la durée de la trame ($\alpha < 0$), les impulsions deviennent de plus en plus espacées.

[0046] En définitive ; le train d'impulsions peut s'exprimer sous la forme :

[0047] [Math.5]

$$p_c(t) = s_{pulse}(t) \otimes \sum_{k=1}^{N_{max}} \sum_{pulse} \left(\prod_{[0, T_{acq}]} (t) \cdot \sum_k \delta(t-t_k) \right) \delta(t-t_k) \quad (4)$$

[0048] où $\prod_{[0, T_{acq}]} (t)$ est la fonction porte sur $[0, T_{acq}]$ et $\sum_k \delta(t-t_k)$ est un

peigne de Dirac (non uniforme si $\alpha \neq 0$).

[0049] Par exemple, si les impulsions sont des ondelettes de Morlet, le train d'impulsions peut alors s'écrire :

[0050] [Math.6]

$$p_c(t) = \sum_{k=1}^{N_{max}} \sum \exp \left(-\frac{(t-t_k-\tau/2)^2}{2(\tau/6)^2} \right) \cdot \exp(j2\pi f_c(t-t_k)) \quad (5)$$

[0051] où τ est la largeur de l'enveloppe gaussienne des impulsions.

[0052] De manière générale, le spectre du train d'impulsions s'exprime comme suit :

[0053] [Math.7]

$$P_c(f) = S_{pulse}(f - f_c) \cdot \left(\text{sinc} \left(\frac{f}{T_{acq}^{-1}} \right) \otimes TF \left(\sum_k \delta(t-t_k) \right) \right) \quad (6)$$

[0054] où $S_{pulse}(f)$ est le spectre de l'impulsion en bande de base, *sinc* est la fonction sinus cardinal, et *TF* est la transformée de Fourier.

[0055] En absence de modulation de PRF, autrement dit lorsque la fréquence de répétition est constante, le dernier terme de l'expression (6) n'est autre qu'un peigne uniforme de Dirac dans le domaine fréquentiel :

[0056] [Math.8]

$$TF \left(\sum_k \delta(t-t_k) \right) = \sum_k \delta(f - k \cdot PRF) \quad (7)$$

[0057] dont l'écart entre raies est égal à la fréquence de répétition.

[0058] La Fig. 4 représente dans sa partie supérieure le spectre de deux trains d'impulsions pour une fréquence porteuse $f_c = 5.4GHz$ et de fréquence de répétition constante. Le

cas illustré à gauche correspond à une PRF de 200 MHz et celui de droite à une PRF de 100 MHz. La largeur de bande à analyser, W_{RF} , est dans les deux cas égale à 1 GHz. Dans la partie inférieure de la figure ont été représentés les spectrogrammes correspondant à ces deux cas. En absence de modulation de PRF, les raies spectrales sont fixes et aucun balayage n'intervient dans la bande à analyser.

[0059] La Fig. 5 représente dans sa partie supérieure le spectre de deux trains d'impulsions pour une fréquence porteuse $f_c = 5.4GHz$ mais de fréquence de répétition modulée autour de la valeur moyenne $\overline{PRF} = 200MHz$. L'excursion en fréquence sur la durée d'acquisition, T_{acq} , est de $B_{in} = 5MHz$, la fréquence de répétition décroissant linéairement dans le cas illustré à gauche de la figure et croissant linéairement dans le cas illustré à droite.

[0060] En lieu et place d'un spectre de raies, on observe un spectre de sous-bandes, chaque harmonique d'ordre k de la fréquence de répétition \overline{PRF} donnant naissance à une sous-bande de largeur $B_{sweep}^k = (k_{mult} + k - 1) \cdot B_{in}$ où k_{mult} est l'entier défini par $k_{mult} = \left\lfloor \frac{f_c}{\overline{PRF}} \right\rfloor$. On remarquera sur la figure que les sous-bandes sont d'autant plus larges que l'ordre de l'harmonique est élevé. Par ailleurs, chacune des sous-bandes est résolue dans la mesure où $B_{sweep}^k < PRF_{min}$ où PRF_{min} la valeur de PRF la plus faible observée sur la durée d'acquisition, T_{acq} . Autrement dit, $PRF_{min} = PRF_{start}$ pour une modulation par valeurs croissantes et $PRF_{min} = PRF_{stop}$ pour une modulation par valeurs décroissantes.

[0061] Dans la partie inférieure de la figure ont été représentés les spectrogrammes correspondant aux deux précités. Le spectrogramme de gauche correspond à une modulation de PRF par valeurs décroissantes et celui de droite à une modulation de PRF par valeurs croissantes. On peut voir que les raies correspondant aux différentes harmoniques se déplacent au cours du temps vers les basses fréquences dans le premier cas et vers les hautes fréquences dans le second cas. Etant donné que $B_{sweep}^k < PRF_{min}$, les rampes de variation de raies adjacentes ne se recouvrent pas sur la durée d'acquisition.

[0062] La Fig. 6 représente à nouveau dans sa partie supérieure le spectre de deux trains d'impulsions pour une fréquence porteuse $f_c = 5.4GHz$ de fréquence de répétition modulée autour de la valeur moyenne $\overline{PRF} = 200MHz$. Comme dans la figure précédente, la fréquence de répétition décroît linéairement dans le cas illustré à gauche de la figure et croît linéairement dans le cas illustré à droite. L'excursion en fréquence de la PRF, B_{in} , sur la durée de l'acquisition est ici choisie de manière à ce que $B_{sweep}^k > PRF_{min}$, autrement dit les sous-bandes générées par les différentes har-

moniques sont ici recouvrantes, au moins pour les harmoniques d'ordres élevés. Dans le cas illustré en Fig. 6, $B_{sweep}^k > PRF_{max}$ où PRF_{max} la valeur de PRF la plus élevée observée sur la durée d'acquisition, T_{acq} . Autrement dit, $PRF_{max} = PRF_{stop}$ pour une modulation par valeurs croissantes et $PRF_{max} = PRF_{start}$ pour une modulation par valeurs décroissantes. On remarque que toutes les sous-bandes sont recouvrantes et par conséquent qu'aucune ne peut être résolue.

- [0063] Les spectrogrammes correspondant aux deux cas précités sont représentés dans la partie inférieure de la figure. Du fait du recouvrement des sous-bandes, les spectrogrammes sont denses dans la bande RF d'acquisition.
- [0064] Selon la présente invention, le fait de moduler de fréquence de répétition des impulsions sur la durée d'acquisition, T_{acq} , permet d'obtenir une distribution de probabilité moins piquée autour de la fréquence de répétition maximale, autrement dit de ne recourir que rarement voire jamais au pas d'échantillonnage le plus faible $(BW_{RF})^{-1}$. En conséquence, il est possible d'utiliser des convertisseurs opérant à une cadence moyenne faible $\overline{PRF} < BW_{RF}$ tout en permettant la reconstruction du signal comme décrit ci-après. De manière étonnante, cette propriété reste vraie lorsque les sous-bandes issues des différentes harmoniques sont recouvrantes.
- [0065] La reconstruction du signal est réalisée à partir des échantillons complexes obtenus par la méthode d'acquisition compressée décrite plus haut. Ces échantillons sont le résultat d'un échantillonnage non uniforme, piloté par la fréquence de répétition modulée dans le temps. Il convient de noter que cet échantillonnage non uniforme ne vérifie pas le théorème de Nyquist et induit par conséquent des repliements de spectre dans le signal acquis. Une méthode de reconstruction spécifique est par conséquent nécessaire.
- [0066] On peut considérer que chaque échantillon complexe, s_n , est le résultat de la convolution d'une seule impulsion du train d'impulsions pondérée par le signal d'entrée $s(t)$, avec la réponse impulsionnelle du filtre AGC :
- [0067] [Math.9]
- $$s_n = \delta(t - t_n^s) \cdot (h_{agc}(t) \otimes p_n^*(t) \cdot s(t)) \quad (8)$$
- [0068] où t_n^s est le nième instant d'échantillonnage, $h_{agc}(t)$ est la réponse impulsionnelle du filtre AGC, $p_n^*(t)$ est le conjugué complexe de la nième impulsion et $s(t)$ est le signal en sortie de l'amplificateur LNA, avant le mélange avec le train d'impulsions.
- [0069] On suppose dans la suite que le filtre AGC présente une bande passante supérieure à la bande balayée par le train d'impulsions et que la réponse en phase du filtre est linéaire dans la bande ainsi balayée. Dans ce cas, le filtre peut être considéré comme

une simple cellule à retard, de retard τ_d et de gain γ_{agc} et :

[0070] [Math.10]

$$s_n = \delta(t - t_n^s) \cdot \gamma_{agc} \cdot p_n^*(t - \tau_d) \cdot s(t - \tau_d) \quad (9)$$

[0071] En choisissant $t_n^s = t_n + \tau_d$ et en effectuant un changement de référence temporelle, on obtient, en multipliant les deux membres de l'équation par $p_n(t)$:

[0072] [Math.11]

$$s_n \cdot p_n(t) = \gamma_{agc} \cdot \delta(t - t_n) \cdot p_n^*(t) p_n(t) \cdot s(t) \quad (10)$$

[0073] [Math.12]

$$TF(s_n \cdot p_n(t)) = s_n P_n(f) = \gamma_{agc} \cdot p_n^*(t_n) p_n(t_n) \cdot s(t_n) e^{-j2\pi f t_n} = \gamma \cdot s(t_n) e^{-j2\pi f t_n}$$

[0074] (11)

[0075] étant donné que $p_n^*(t_n) p_n(t_n)$ est une constante réelle.

[0076] On peut alors reconstruire le signal au moyen de :

[0077] [Math.13]

$$\hat{X}(f) = \frac{1}{\gamma} \sum_{n=1}^{N_{max}} \sum_{n=1}^{N_{max}} s(t_n) \cdot e^{-j2\pi f t_n} s_n P_n(f) \quad (11)$$

[0078] Le terme de droite n'est autre que la valeur du spectre prise à la fréquence f obtenue par interpolation des phaseurs $e^{-j2\pi f t_n}$ par les échantillons $s(t_n)$. Le signal $x(t)$ peut alors être estimé par transformée de Fourier inverse $\hat{x}(t) = TF^{-1}(\hat{X}(f))$.

[0079] La [Fig.7] représente schématiquement un module de reconstruction d'un signal ayant fait l'objet d'une acquisition comprimée selon un mode de réalisation de la présente invention.

[0080] Le module de reconstruction reçoit les échantillons complexes s_n à une cadence variable, aux instants t_n (définis par l'expression (3)) les échantillons étant stockés dans un buffer FIFO 710. Les échantillons sont ensuite lus à cadence constante et multipliés respectivement par les valeurs spectrales $P_n(f_1), \dots, P_n(f_K)$ par les multiplieurs 720₁, ..., 720_K où $P_n(f)$ est la transformée de Fourier de la nième impulsion et f_1, \dots, f_K sont des fréquences équidistribuées dans la bande d'intérêt à analyser, BW_{RF} . Les modules de sommation 730₁, ..., 730_K somme les résultats obtenus sur la durée de la trame d'acquisition, autrement dit sur le train d'impulsions et les résultats de sommation pondérant les phaseurs $\exp(j2\pi f_1 t), \dots, \exp(j2\pi f_K t)$ dans les multiplieurs 750₁, ..., 750_K. Le cas échéant, la multiplication avec les phaseurs peut être

réalisée dans le domaine analogique en effectuant préalablement une conversion des résultats de sommation au moyen des convertisseurs CNA optionnels, $750_1, \dots, 750_K$, représentés en traits discontinus.

- [0081] Dans tous les cas, les phaseurs ainsi pondérés sont ensuite sommés dans le sommateur 760 pour fournir une estimation du signal reçu, $\hat{x}(t)$.
- [0082] La [Fig.8] représente de manière schématique un dispositif d'acquisition comprimée et de reconstruction d'un signal selon une première variante de réalisation de la présente invention.
- [0083] Le dispositif d'acquisition comprimée et de reconstruction comprend un amplificateur bas bruit, 810, un mélangeur complexe, 820 (voies I et Q) du signal amplifié avec un train d'impulsions à PRF modulée comme décrit plus haut, avec $\overline{PRF} < BW_{RF}$, la modulation de PRF pouvant être effectuée par valeurs croissantes ou décroissantes. Le résultat du mélange est filtré par un filtre AGC, 830, de fréquence de coupure égale à $\overline{PRF} / 2$ puis converti par un convertisseur analogique numérique (sur chacune des voies I et Q), 840. Les échantillons complexes issus de l'acquisition comprimée sont fournis à un module de reconstruction tel que précédemment décrit en relation avec la Fig. 7 pour obtenir une estimation du signal reçu. Dans certains cas, lorsque la bande BW_{RF} est divisée en canaux, il peut être intéressant de scanner la bande en question pour déterminer dans quel canal un signal est émis. Dans l'hypothèse de K tels canaux, on peut alors se contenter d'effectuer une détection en sortie des sommateurs $730_1, \dots, 730_K$ pour en déduire le(s) canal (canaux) utilisé(s), comme représenté par le module de détection 860. Lorsqu'un canal est déterminé comme utilisé, une acquisition compressive au moyen d'un train d'impulsions à PRF constante peut être effectuée en choisissant la PRF de manière à ne pas induire de repliement dans le canal en question.
- [0084] La [Fig.9] représente de manière schématique un dispositif d'acquisition comprimée et de reconstruction d'un signal selon une seconde variante de réalisation de la présente invention.
- [0085] Cette seconde variante se distingue de la première en ce qu'après amplification dans l'amplificateur bas bruit, 910, le signal amplifié est soumis en parallèle à une première chaîne d'acquisition comprimée 921-941, dans laquelle le signal amplifié est mélangé avec un premier train d'impulsions à PRF modulée par valeurs croissantes et à une seconde chaîne d'acquisition comprimée 922-942, dans laquelle le signal amplifié est mélangé avec un second train d'impulsions à PRF modulée par valeurs décroissantes. Avantagusement, les première et seconde chaînes d'acquisition compressée utiliseront la même durée de trame d'acquisition, T_{acq} , ainsi que la même impulsion, et donc une même fréquence porteuse f_c et une même forme d'onde de durée τ . En

revanche, ces deux chaînes d'acquisition compressée utilisent des rampes de modulation de pentes opposées, $2a$ pour la première et $-2a$ pour la seconde. Ainsi la PRF du premier train d'impulsions varie de PRF_{min} à PRF_{max} et le second train d'impulsions varie de PRF_{max} à PRF_{min} sur la durée de la trame d'acquisition. On comprend qu'ainsi les positions temporelles des impulsions dans les premier et second trains d'impulsions sont différentes, ce qui permet de réduire encore davantage la valeur moyenne de la fréquence de répétition, \overline{PRF} , commune aux deux branches, au prix certes d'une taille de circuit plus importante.

- [0086] Les échantillons complexes issus de la première branche sont ensuite fournis à un premier module de reconstruction, 951, et ceux issus de la seconde branche à un second module de reconstruction, 952, chaque module utilisant le train d'impulsions utilisé dans la branche correspondante.
- [0087] Dans cette seconde variante, les signaux issus des modules de reconstruction sont issus des sommateurs $730_1, \dots, 730_K$ tels que représentés en Fig. 7, la sommation étant effectuée sur des intervalles de temps, dont la durée T_{acq}/M est une fraction de la période d'acquisition T_{acq} .
- [0088] Les signaux reconstruits par 951 et 952 sont multipliés, fréquence par fréquence, et pour chaque fréquence, f_k , les résultats de multiplication sont sommés sur les M intervalles, pour donner une estimation du signal aux fréquences f_1, \dots, f_K . On peut montrer que cette opération permet d'atténuer les raies parasites (résultant du repliement) dans le spectrogramme.
- [0089] Comme dans la première variante, le dispositif de la Fig. 9 peut être utilisé pour scanner une bande BW_{RF} divisée en canaux. Dans ce cas, une détection est réalisée après la sommation précitée sur les M intervalles. Là encore, lorsqu'un canal est déterminé comme utilisé, une acquisition comprimée au moyen d'un train d'impulsions à PRF constante pourra ensuite être réalisée. On comprend qu'alors la PRF pourra être la moitié de celle mise en œuvre dans la première variante, les positions temporelles des impulsions dans les deux trains d'impulsions étant décimées par un facteur 2, le premier train d'impulsions pouvant comprendre des impulsions aux positions temporelles de rangs impairs et le second des impulsions aux positions temporelles de rangs pairs.

Revendications

- [Revendication 1] Méthode d'acquisition comprimée d'un signal spectralement parcimonieux au sein d'une bande spectrale donnée, le signal reçu étant mélangé (820) pendant une trame d'acquisition avec un train d'impulsions se succédant à une fréquence de répétition au sein de cette trame, lesdites impulsions étant de durée inférieure ou égale à l'inverse de largeur de la bande spectrale et présentant un spectre centré sur la fréquence centrale de cette bande, le résultat du mélange étant filtré (830) au moyen d'un filtrage passe-bas avant d'être échantillonné (840) pour fournir des échantillons complexes représentatifs du signal reçu, ladite méthode étant caractérisée en ce que ladite fréquence de répétition est modulée dans le temps pendant la durée de la trame d'acquisition.
- [Revendication 2] Méthode d'acquisition comprimée selon la revendication 1, caractérisée en ce que la fréquence de répétition est modulée linéairement dans le temps, et parcourt pendant la trame d'acquisition une plage de fréquence de répétition entre une valeur minimale PRF_{min} et une valeur maximale PRF_{max} , soit par valeurs croissantes, soit par valeurs décroissantes.
- [Revendication 3] Méthode d'acquisition comprimée selon la revendication 2, caractérisée en ce que l'excursion de modulation de la fréquence de répétition (B_{in}) est choisie de manière à ce que la largeur spectrale balayée par chaque raie spectrale du train d'impulsion, $B_{sweep}^k = (k_{mult} + k - 1) \cdot B_{in}$ est telle que $B_{sweep}^k > PRF_{min}$ où k_{mult} est l'entier défini par $k_{mult} = \left\lfloor \frac{f_c}{PRF} \right\rfloor$, f_c est ladite fréquence centrale, et \overline{PRF} est la fréquence de répétition moyenne des impulsions sur la durée de la trame d'acquisition.
- [Revendication 4] Méthode d'acquisition comprimée selon l'une des fonctions précédentes, caractérisée en ce que les impulsions sont choisies parmi des ondelettes de Morlet, des ondelettes de Haar et des fonctions de Gabor.
- [Revendication 5] Méthode d'acquisition comprimée selon l'une des revendications précédentes, caractérisée en ce que le filtre passe-bande présente une fréquence de coupure sensiblement égale à $\overline{PRF} / 2$ où \overline{PRF} est la fréquence de répétition moyenne des impulsions sur la durée de la trame d'acquisition.
- [Revendication 6] Méthode d'acquisition comprimée selon la revendication 1, caractérisée en ce que le signal reçu est mélangé (921) pendant une trame

d'acquisition avec un premier train d'impulsions se succédant à une première fréquence de répétition au sein de cette trame, et pendant cette même trame d'acquisition, est mélangé (922) avec un second train d'impulsions se succédant avec une seconde fréquence de répétition, les première et seconde fréquences de répétition étant linéairement modulées dans le temps pendant la trame d'acquisition avec des pentes de modulation opposées.

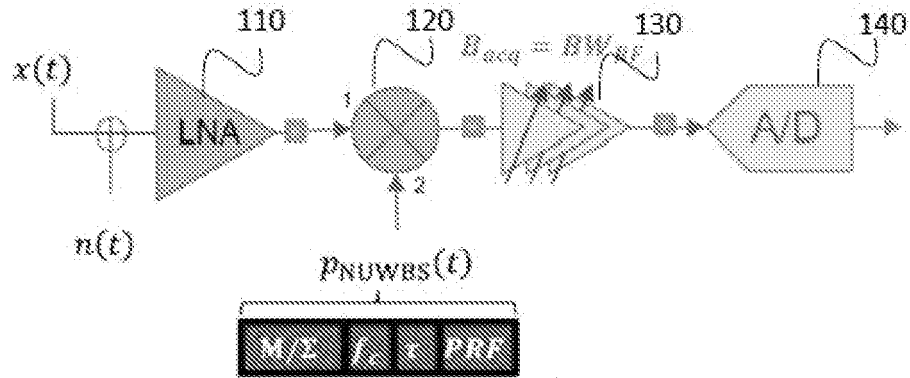
[Revendication 7]

Méthode d'acquisition comprimée selon la revendication 6, caractérisée en ce que le résultat du mélange avec le premier train d'impulsions est filtré au moyen d'un premier filtrage passe-bas (931) avant d'être échantillonné (941) pour fournir des premiers échantillons complexes, et que le résultat du mélange avec le second train d'impulsions est filtré au moyen d'un second filtrage passe-bas (932) avant d'être échantillonné (942) pour fournir des seconds échantillons complexes, l'ensemble des premiers et seconds échantillons complexes étant représentatifs du signal reçu.

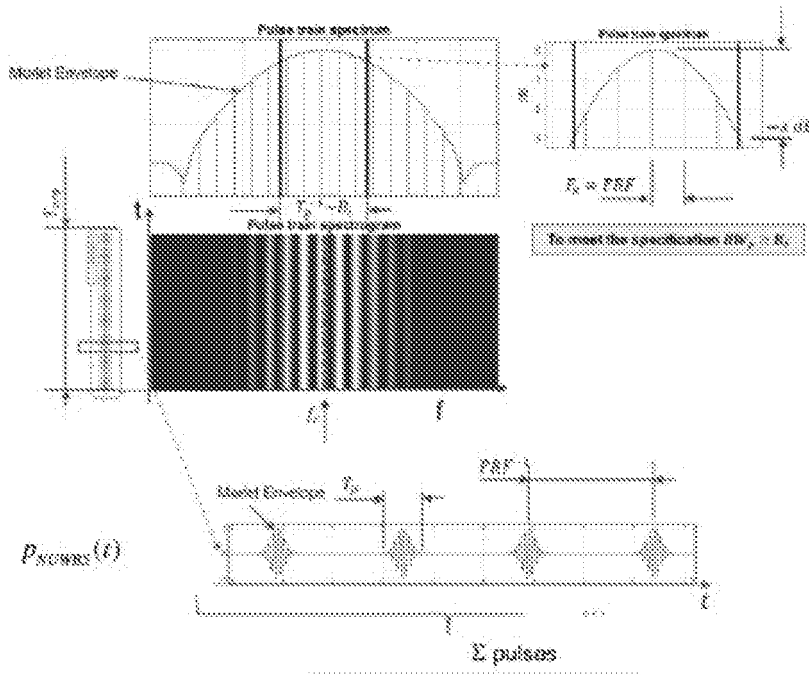
[Revendication 8]

Méthode de reconstruction d'un signal spectralement parcimonieux au sein d'une bande spectrale donnée, ledit signal ayant fait l'objet d'une acquisition comprimée par une méthode d'acquisition comprimée selon l'une des revendications précédentes 1 à 5, caractérisée en ce que les échantillons complexes relatifs aux différentes impulsions du train d'impulsions sont successivement multipliés ($720_1, \dots, 720_K$) par des valeurs spectrales de ces impulsions pour fournir des valeurs spectrales pondérées, cette opération étant répétée pour une pluralité de fréquences équidistribuées dans la bande spectrale, lesdites valeurs spectrales pondérées étant sommées ($730_1, \dots, 730_K$) sur la durée de la trame d'acquisition pour chaque fréquence de la pluralité de fréquences équidistribuées pour obtenir des coefficients complexes à chacune de ces fréquences, des phaseurs à ces fréquences étant ensuite pondérés par lesdits coefficients correspondants avant d'être sommés pour fournir une estimation du signal reçu.

[Fig. 1]

**Fig. 1**

[Fig. 2]

**Fig. 2**

[Fig. 3A]

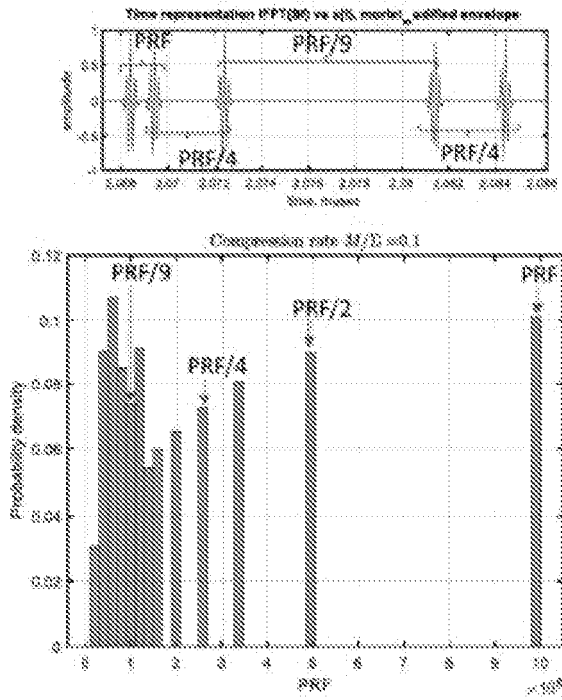


Fig. 3A

[Fig. 3B]

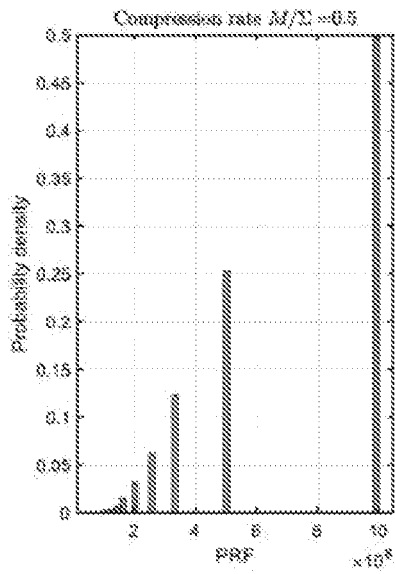


Fig. 3B

[Fig. 3C]

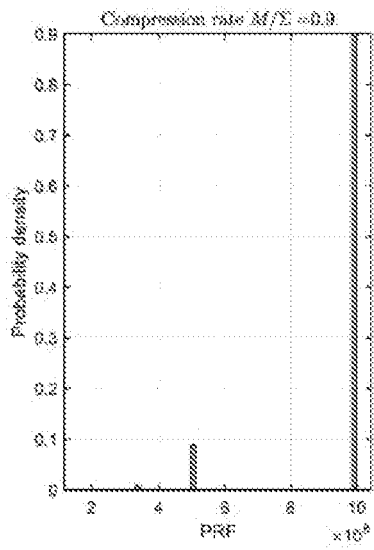


Fig. 3C

[Fig. 4]

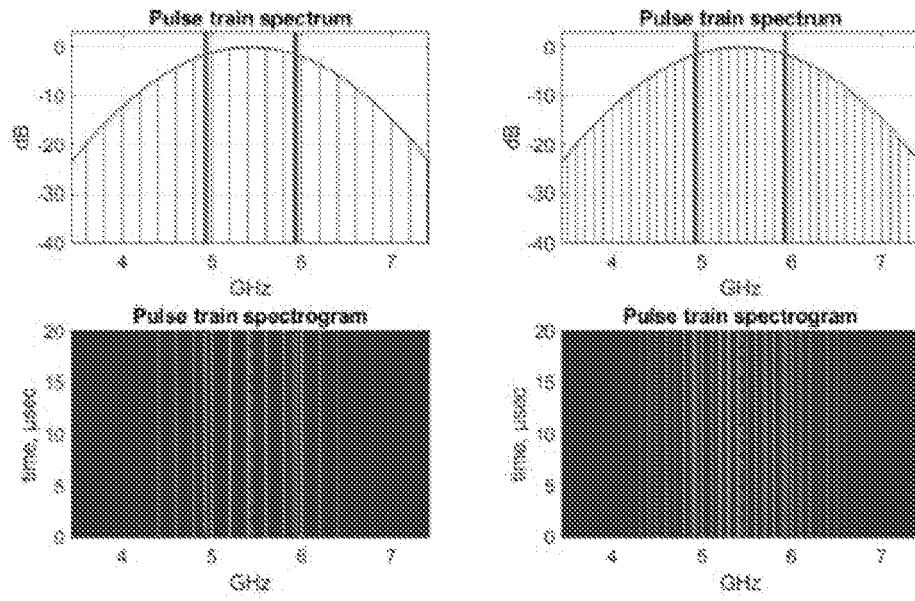
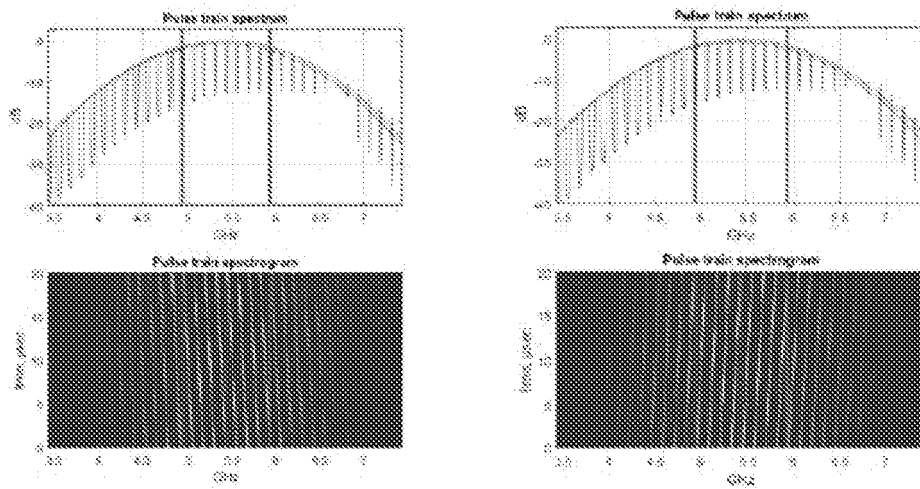
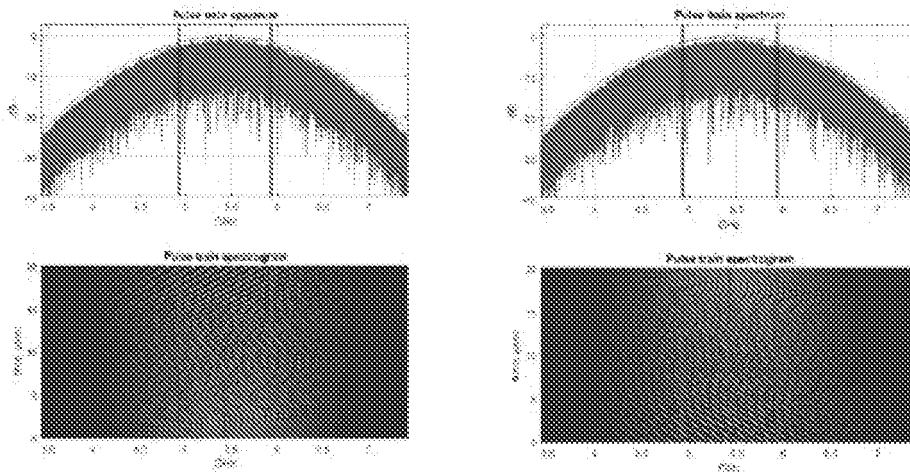


Fig. 4

[Fig. 5]

Fig. 5

[Fig. 6]

Fig. 6

[Fig. 7]

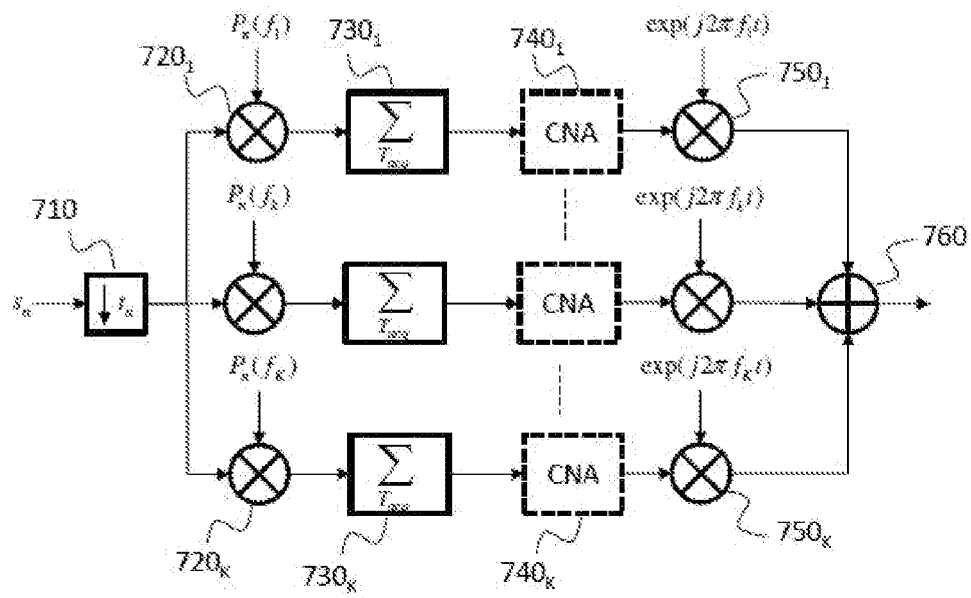


Fig. 7

[Fig. 8]

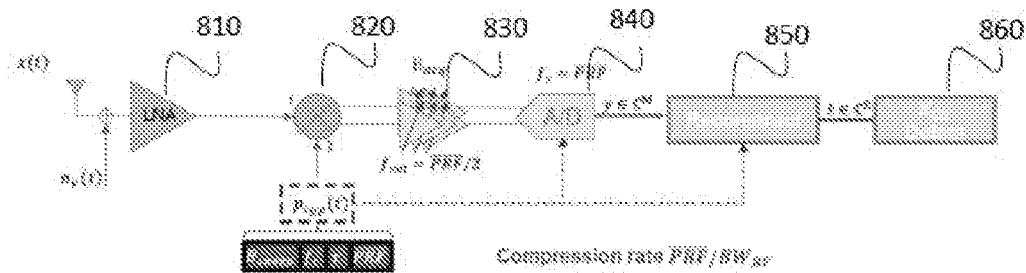


Fig. 8

[Fig. 9]

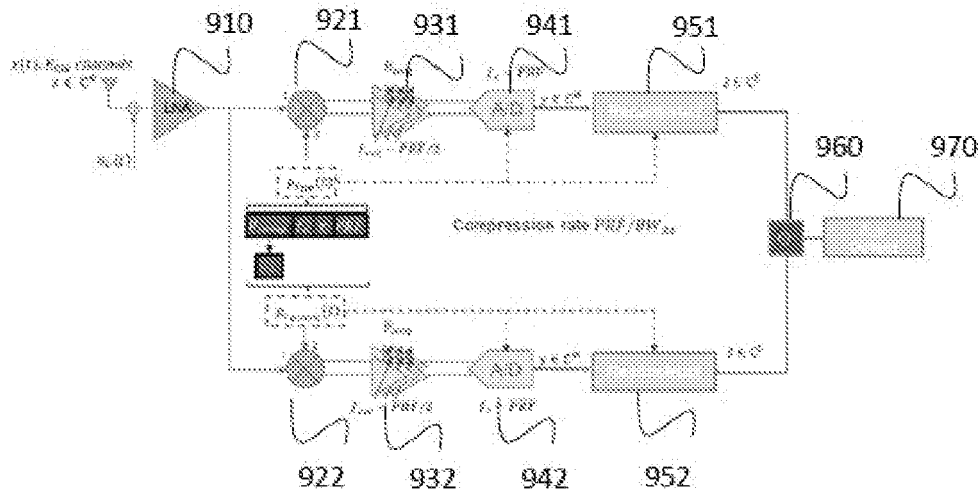


Fig. 9

**RAPPORT DE RECHERCHE
PRÉLIMINAIRE**

N° d'enregistrement
national

établi sur la base des dernières revendications
déposées avant le commencement de la recherche

FA 902764
FR 2114628

DOCUMENTS CONSIDÉRÉS COMME PERTINENTS		Revendication(s) concernée(s)	Classement attribué à l'invention par l'INPI
Catégorie	Citation du document avec indication, en cas de besoin, des parties pertinentes		
X	EP 3 681 040 A1 (COMMISSARIAT ENERGIE ATOMIQUE [FR]) 15 juillet 2020 (2020-07-15)	1-5, 8	H03M7/30 H04L27/14 H04B17/00
A	* alinéa [0001] - alinéa [0008] * * alinéa [0070] - alinéa [0086] * * alinéa [0050]; figures 3A,B * * alinéa [0040]; revendications 7,8 * * alinéa [0022] - alinéa [0025] * * alinéa [0098] - alinéa [0099] * * alinéa [0063] * -----	6, 7	
A	EP 3 319 236 A1 (COMMISSARIAT ENERGIE ATOMIQUE [FR]; UNIV CORNELL [US]) 9 mai 2018 (2018-05-09) * le document en entier * -----	1-8	
A	DE VITO LUCA ET AL: "Non-Uniform Wavelet Bandpass Sampling Analog-to-Information Converter: A hardware implementation and its experimental assessment", MEASUREMENT., vol. 134, 1 février 2019 (2019-02-01), pages 739-749, XP055943528, GB ISSN: 0263-2241, DOI: 10.1016/j.measurement.2018.11.015 * le document en entier * -----	1, 8	DOMAINES TECHNIQUES RECHERCHÉS (IPC) H03M H04L G06F
A	US 10 066 997 B2 (UNIV STUTTGART [DE]) 4 septembre 2018 (2018-09-04) * le document en entier * -----	1	
Date d'achèvement de la recherche		Examineur	
21 juillet 2022		Belardinelli, Carlo	
CATÉGORIE DES DOCUMENTS CITÉS			
X : particulièrement pertinent à lui seul Y : particulièrement pertinent en combinaison avec un autre document de la même catégorie A : arrière-plan technologique O : divulgation non-écrite P : document intercalaire		T : théorie ou principe à la base de l'invention E : document de brevet bénéficiant d'une date antérieure à la date de dépôt et qui n'a été publié qu'à cette date de dépôt ou qu'à une date postérieure. D : cité dans la demande L : cité pour d'autres raisons & : membre de la même famille, document correspondant	

**ANNEXE AU RAPPORT DE RECHERCHE PRÉLIMINAIRE
RELATIF A LA DEMANDE DE BREVET FRANÇAIS NO. FR 2114628 FA 902764**

La présente annexe indique les membres de la famille de brevets relatifs aux documents brevets cités dans le rapport de recherche préliminaire visé ci-dessus.
Les dits membres sont contenus au fichier informatique de l'Office européen des brevets à la date du **21-07-2022**
Les renseignements fournis sont donnés à titre indicatif et n'engagent pas la responsabilité de l'Office européen des brevets, ni de l'Administration française

Document brevet cité au rapport de recherche	Date de publication	Membre(s) de la famille de brevet(s)	Date de publication	
EP 3681040	A1	15-07-2020	EP 3681040 A1	15-07-2020
			FR 3091633 A1	10-07-2020
			US 2020220751 A1	09-07-2020

EP 3319236	A1	09-05-2018	EP 3319236 A1	09-05-2018
			US 2018131504 A1	10-05-2018

US 10066997	B2	04-09-2018	DE 102014002514 A1	27-08-2015
			EP 3108216 A2	28-12-2016
			US 2017059408 A1	02-03-2017
			WO 2015124288 A2	27-08-2015
